

非线性固体力学

信吉平

2023 年 10 月 9 日

目录

1	线弹性问题	5
1.1	算例（二维线弹收敛性）	6
1.2	算例（Cook Membrane）	7
2	接触算法	9
2.1	区域分离法	9
2.1.1	泊松方程	9
2.1.2	线弹性方程	10
2.2	柔性体/刚性体	10
2.3	接触查找	10
2.4	接触条件定义	10

第1章 线弹性问题

线弹性问题的偏微分方程如(1.1)。

$$-\nabla \cdot \boldsymbol{\sigma} = \mathbf{f} \quad \mathbf{x} \in \Omega \quad (1.1)$$

Dirichlet 边界条件和 Neumann 边界条件如(1.2)。

$$\boldsymbol{\sigma} \cdot \mathbf{n} = \mathbf{g}_N \quad \mathbf{x} \in \Gamma_N \quad (1.2a)$$

$$\mathbf{u} = \mathbf{g}_D \quad \mathbf{x} \in \Gamma_D \quad (1.2b)$$

(1.1)两边点乘 \mathbf{v} ，再在 Ω 上积分得到(1.3)，通过散度定理得到变分形式(1.4)。

$$-\int_{\Omega} \nabla \cdot \boldsymbol{\sigma} \cdot \mathbf{v} dx = \int_{\Omega} \mathbf{f} \cdot \mathbf{v} dx \quad (1.3)$$

$$\int_{\Omega} \boldsymbol{\sigma} : \boldsymbol{\varepsilon}(\mathbf{v}) dx = \int_{\Omega} \mathbf{f} \cdot \mathbf{v} dx + \int_{\Gamma} \boldsymbol{\sigma} \cdot \mathbf{n} \cdot \mathbf{v} ds_x \quad (1.4)$$

本构关系如(1.5)。

$$\boldsymbol{\sigma}(\mathbf{u}) = 2\mu \boldsymbol{\varepsilon}(\mathbf{u}) + \lambda \text{tr}(\boldsymbol{\varepsilon}(\mathbf{u})) \mathbf{I} \quad (1.5)$$

将(1.5)代入(1.4)得到(1.6)。

$$\int_{\Omega} (2\mu \boldsymbol{\varepsilon}(\mathbf{u}) : \boldsymbol{\varepsilon}(\mathbf{v}) + \lambda \nabla \cdot \mathbf{u} \nabla \cdot \mathbf{v}) dx = \int_{\Gamma} \boldsymbol{\sigma} \cdot \mathbf{n} \cdot \mathbf{v} ds_x + \int_{\Omega} \mathbf{f} \cdot \mathbf{v} dx \quad (1.6)$$

采用线性单元对(1.6)进行离散得到线性方程组(1.7)。

$$KU = b \quad (1.7)$$

1.1 算例（二维线弹收敛性）

(1.8)定义解析解验证收敛性。

$$\Omega := (0, 1)^2 \quad (1.8a)$$

$$\Gamma_D := \{x_1 = 0\} \cup \{x_2 = 0\} \quad (1.8b)$$

$$\mathbf{u} = \begin{pmatrix} \sin(\pi x_1) \cos(\pi x_2) \\ \cos(\pi x_1) \sin(\pi x_2) \end{pmatrix} \quad (1.8c)$$

$$\mathbf{b} = 2(2\mu + \lambda)\pi^2 \begin{pmatrix} \sin(\pi x_1) \cos(\pi x_2) \\ \cos(\pi x_1) \sin(\pi x_2) \end{pmatrix} \quad (1.8d)$$

$$\boldsymbol{\sigma} = \begin{pmatrix} 2(\mu + \lambda)\pi \cos(\pi x_1) \cos(\pi x_2) & -2\mu\pi \sin(\pi x_1) \sin(\pi x_2) \\ -2\mu\pi \sin(\pi x_1) \sin(\pi x_2) & 2(\mu + \lambda)\pi \cos(\pi x_1) \cos(\pi x_2) \end{pmatrix} \quad (1.8e)$$

图 1.1为网格加密 5 次的结果，中验证了二次收敛速度。

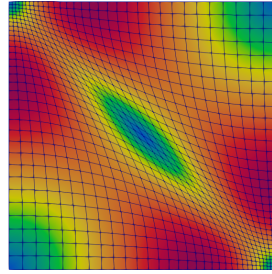


图 1.1: 二维线弹性方程，加密 5 次

	$\ \mathbf{u} - \mathbf{u}_h\ _{L^2}$	ROC
3	0.0037921	
4	0.00094998	3.991768248
5	0.00023762	3.9978958
6	5.9413e-05	3.9995
7	1.4854e-05	3.999798034

表 1.1: 二维线弹性方程，弹性模量 2.5，泊松比 0.25。

1.2 算例 (Cook Membrane)

图 1.2和图 1.3是和 Abaqus 的比较，结果吻合。



图 1.2: Cook Membrane 线弹性算例, 弹性模量 1, 泊松比 $\frac{1}{3}$, 拖拽力 $\frac{1}{16}$, 加密 3 次, $\mathbf{u}_2(48,60) = 22.606300354003906$ 。

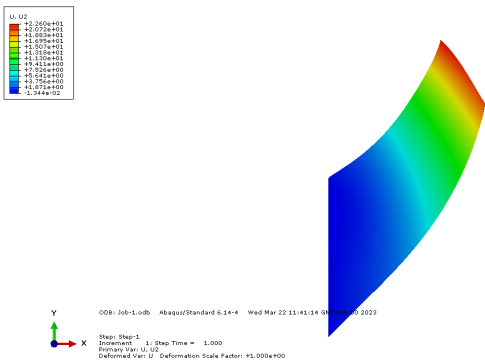


图 1.3: Cook Membrane 线弹性 Abaqus 算例, 弹性模量 1, 泊松比 $\frac{1}{3}$, 拖拽力 $\frac{1}{16}$, 网格大小为 0.25, $\mathbf{u}_2(48,60) = 22.6046$ 。

第2章 接触算法

2.1 区域分离法

2.1.1 泊松方程

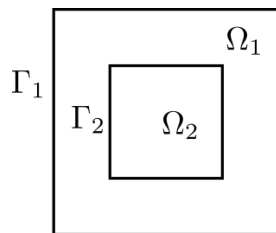


图 2.1: 区域分离

首先根据图 2.1定义问题，包括方程、边界条件和界面条件，如方程(2.1)。

$$-\Delta u_1 = f_1 \quad x \in \Omega_1 \quad (2.1a)$$

$$u_1 = g_1 \quad x \in \Gamma_1 \quad (2.1b)$$

$$-\Delta u_2 = f_2 \quad x \in \Omega_2 \quad (2.1c)$$

$$u_1 = u_2 \quad x \in \Gamma_2 \quad (2.1d)$$

$$\frac{\partial u_1}{\partial n_1} = -\frac{\partial u_2}{\partial n_2} \quad x \in \Gamma_2 \quad (2.1e)$$

二维问题采用 continuous piecewise linear function spaces, $u_{,h}^*$ 是该空间基函数, $*$ 是基

函数自由度对应网格顶点的位置, 例如 $u_{1,h}^{\Omega_1}$ 是定义在 Ω_1 上的基函数, 对应的顶点在 Ω_1 内。

$$\begin{aligned}
 \int_{\Omega_1} \nabla u_1 \nabla v_1 dx &= \int_{\Omega_1} f_1 v_1 dx + \int_{\Gamma_1} \frac{\partial u_1}{\partial n_1} v_1 dx + \int_{\Gamma_2} \frac{\partial u_1}{\partial n_1} v_1 dx \\
 \int_{\Omega_1} \nabla u_1 \nabla v_1 dx - \int_{\Gamma_1} \frac{\partial u_1}{\partial n_1} v_1 dx - \int_{\Gamma_2} \frac{\partial u_1}{\partial n_1} v_1 dx &= \int_{\Omega_1} f_1 v_1 dx \\
 \underbrace{\int_{\Omega_1} \nabla u_{1,h}^{\Omega_1} \nabla v_{1,h}^{\Omega_1} dx}_{A_{11}} + \underbrace{\int_{\Omega_1} \nabla u_{1,h}^{\Gamma_2} \nabla v_{1,h}^{\Omega_1} dx}_{A_{13}} &= \int_{\Omega_1} f_1 v_{1,h}^{\Omega_1} dx - \int_{\Omega_1} \nabla u_{1,h}^{\Gamma_1} \nabla v_{1,h}^{\Omega_1} dx
 \end{aligned} \tag{2.2}$$

$$\begin{aligned}
 \int_{\Omega_2} \nabla u_2 \nabla v_2 dx &= \int_{\Omega_2} f_2 v_2 dx + \int_{\Gamma_2} \frac{\partial u_2}{\partial n_2} v_2 dx \\
 \int_{\Omega_2} \nabla u_2 \nabla v_2 dx - \int_{\Gamma_2} \frac{\partial u_2}{\partial n_2} v_2 dx &= \int_{\Omega_2} f_2 v_2 dx \\
 \underbrace{\int_{\Omega_2} \nabla u_{2,h}^{\Omega_2} \nabla v_{2,h}^{\Omega_2} dx}_{A_{22}} + \underbrace{\int_{\Omega_2} \nabla u_{2,h}^{\Gamma_2} \nabla v_{2,h}^{\Omega_2} dx}_{A_{23}} &= \int_{\Omega_2} f_2 v_{2,h}^{\Omega_2} dx
 \end{aligned} \tag{2.3}$$

$$\begin{aligned}
 \int_{\Gamma_2} \frac{\partial u_1}{\partial n_1} v dx &= - \int_{\Gamma_2} \frac{\partial u_2}{\partial n_2} v dx \\
 \int_{\Gamma_2} \frac{\partial u_1}{\partial n_1} v_1 dx &= - \int_{\Gamma_2} \frac{\partial u_2}{\partial n_2} v_2 dx \\
 \int_{\Omega_1} \nabla u_1 \nabla v_1 dx - \int_{\Omega_1} f_1 v_1 dx - \int_{\Gamma_1} \frac{\partial u_1}{\partial n_1} v_1 dx + \int_{\Omega_2} \nabla u_2 \nabla v_2 dx - \int_{\Omega_2} f_2 v_2 dx &= 0 \\
 \underbrace{\int_{\Omega_1} \nabla u_{1,h}^{\Omega_1} \nabla v_{1,h}^{\Gamma_2} dx}_{A_{31}} + \underbrace{\int_{\Omega_2} \nabla u_{2,h}^{\Omega_2} \nabla v_{2,h}^{\Gamma_2} dx}_{A_{32}} + \underbrace{\int_{\Omega_1} \nabla u_{1,h}^{\Gamma_2} \nabla v_{1,h}^{\Gamma_2} dx + \int_{\Omega_2} \nabla u_{2,h}^{\Gamma_2} \nabla v_{2,h}^{\Gamma_2} dx}_{A_{33}} \\
 = \int_{\Omega_1} f_1 v_{1,h}^{\Gamma_2} dx - \int_{\Omega_1} \nabla u_{1,h}^{\Gamma_1} \nabla v_{1,h}^{\Gamma_2} dx + \int_{\Omega_2} f_2 v_{2,h}^{\Gamma_2} dx
 \end{aligned} \tag{2.4}$$

$$\begin{pmatrix} A_{11} & 0 & A_{13} \\ 0 & A_{22} & A_{23} \\ A_{31} & A_{32} & A_{33} \end{pmatrix} = \begin{pmatrix} b_1 \\ b_2 \\ b_3 \end{pmatrix} \tag{2.5}$$

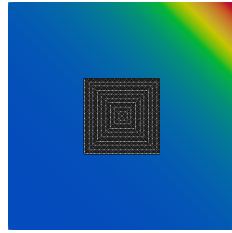
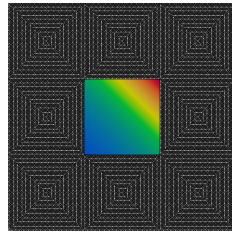
2.1.2 线弹性方程

2.2 柔性体/刚性体

2.3 接触查找

2.4 接触条件定义

1	1.0654	
2	0.27147	3.924558883
3	0.068537	3.960926215
4	0.017192	3.986563518
5	0.0043005	3.997674689

表 2.1: Ω_2 上的 L^2 误差收敛图 2.2: Ω_1 图 2.3: Ω_2

参考文献